

Vektör Uzayı İzdüşüm Metodu Kullanılarak Sapınç Azaltılması

Damla Gürkan Kuntalp

Dokuz Eylül Üniversitesi

Elektrik ve Elektronik Mühendisliği Bölümü

Kaynaklar Kampüsü, Buca, İzmir

dgurkan@yahoo.com

Özet

Optik sistemler yüzeyleri üzerine düşen ışığın bir bölümünü bir nesnenin görüntüsünü oluşturmak amacıyla toplar ve yeniden şekillendirirler. Paraksiyel (ya da Gaussian) teori mercek tasarımları alanında kullanılan temel araçtır. Paraksiyel teori, paraksiyel bölgedeki ışınlara karşı gelen dalga önlüğün (wavefront) küresel olduğunu ve mükemmel görüntünün bu kitrenin merkezinde oluşacağını söyler. Fakat paraksiyel teori malesef sadece iyi bir yaklaşım ve basit ışın izleme teknikleri ya da protip sistem üzerinde yapılacak ölçümler paraksiyel teori tanımıyla uyışmayan sonuçlar ortaya koyar. Gaussian optigin öne sürlüğü ideal koşullardan sapmalar saçınumlar (*aberrations*) olarak adlandırılır. Bu bildiri önemli bir saçının türü olan *alan eğikliği* saçının etkilerini azaltmak amacıyla iyileştirici bir optik eleman tasarımını ele alır. Tasarım vektör-uzayı *izdüşüm metodu* kullanılarak gerçekleştirilir. Önerilen metod umut verici sonuçlar vermekle birlikte sonuçta elde edilen ışık alanındaki zayıflama kaçınılmazdır.

Anahtar Kelimeler: Kırınım, saçının düzeltimi, vektör-uzayı izdüşüm metodu.

1.Giriş :

Bu çalışmada, bir vektör-uzayı izdüşüm (VUI) metodu kullanılarak uzay-değişken (space-variant) sapınç düzeltim (aberration correction) uygulaması ele alınmıştır. Vektör-uzayı izdüşüm metodunda tasarım kısıtlamları kısıt kümeleri olarak formülé edilir ve düzeltmeler bu kısıt kümeleri üstüne iteratif bir izdüşüm dizisi uygulanarak elde edilir. VUI metodunda iki temel versiyon mevcuttur: *ardışık* izdüşüm algoritması ve *paralel* izdüşüm algoritması. Ardışık izdüşüm algoritmasının avantajı, yakınsama halinde, çözümün her zaman bir ya da daha fazla kısıtlamayı sağlıyor olmasıdır. Gerçekten de, eğer bütün kısıt kümeleri konveks ise ve kesimleri boş kümeye değilse ulaşılan çözüm *biten* kısıtlamaları sağlar. Öte yandan paralel izdüşümün sağladığı ana avantaj kümelerin konveks ve kesimlerinin boş kümeye olduğu durumlarda minimum-kare çözümüne ulaşmasıdır. Ayrıca, ardışık izdüşümü, problemdede kullanılan kısıt kümeye sayısına bağlı olmaksızın toplam-mesafe hata yakınsamasını (*summed distance error convergence*) garantiler. Vektör-uzayı izdüşüm metodu ve yukarıda kullanılan terimlerle yakınlığı olmayan okuyucular için detaylı açıklamalar [1] 'in ilk bölmelerinde ve [2] de mevcuttur.

2.Alan Eğikliği (Curvature of Field) Sapınçı (AES):

Bu çalışmanın ana konusu AES'dir. Bu tip sapınçlarda nesne düzlemindeki kaynak noktaları, "Petzval yüzeyi" [3] diye adlandırılan ve görüntü düzlemyile çakışmayan eğimli bir yüzey üzerine görüntülenir. Bu yüzeden kırınım-sınırlı görüntüler Petzval yüzeyi üzerinde oluşabilirken, örneğin bir

kameranın arka düzleminde bulanık olarak görülecektir. Saçının düzeltmekde kullanılan klasik yöntemler genellikle ışın izleme (*ray tracing*) metodu kullanan optik tasarımları içerir [4]. AES'yi düzeltmenin bir başka yolu *alan düzleştirici* (*field flattener*) [5] olarak adlandırılan mercekler kullanmaktadır. Bu bildiride AES' nin düzeltmesi problemine ve buradan hareketle daha geniş kapsamlı uzay-değişken sapınçların düzeltilmesi problemine yeni bir yaklaşım sunulmaktadır.

3.AES'nin Matematiksel Tanımı:

Bu çalışmada L uzunluğunda tek boyutlu bir mercek açılığı olduğu, pozitif bir görüntüleme merceğiinin önünde z_1 uzaklığına yerleştirilmiş bir nesne düzlemi bulunduğu ve bu düzlem içinde v dikey kordinatında bir noktasal kaynak olduğu varsayılmıştır. Görüntü düzlemi merceğin arkasında z_2 uzaklığına yerleştirilmiştir. Dikey görüntü düzlemi kordinatı ξ olarak tanımlanmıştır. Görüntü düzlemi ışığının, görüntüleme işleminin son aşaması olduğu varsayılmıştır; bu nedenle görüntü düzlemindeki faz değişimleri aynen radyometrik sabitler gibi önemli değildir. Bu varsayımlar altında noktasal kaynak tepkisi (*point-source response*)

$h(v, \xi)$ aşağıdaki şekilde belirlenir:

$$h(v, \xi) = \int_{-\frac{\lambda}{2}}^{\frac{\lambda}{2}} \exp(jcx^2v^2) \cdot \exp(-j2\pi x[\xi - v]) dx. \quad (1)$$

Yukarıdaki eşitlikte λ , açılığın nesne uzaklığı ile normalize edilmiş uzunlugudur ve dalgaboyu cinsinden ifade edilir; c , AES miktarıyla ilişkili bir

katsayıdır ($c=0$ sapınç olmadığını gösterir) ve $v=(-z_2/z_1)u$ noktasal kaynak tepkisini kırınlım-sınırlı koşullar altında ötelemeden etkilenmez (shift-invariant) hale getirmek için gerekli standart kordinat dönsürümüdür. Denklem (1)'in çarşamında $v=\xi$ etrafında eşdüzlemsel (isoplanatic) bir parça olduğu varsayılmıştır. Bu varsayımin, yani saçının çıkış kordinatlarına olan bağımlılığının yansımış ve ölçeklenmiş giriş kordinatına olan bağlılıkla değiştirilmesinin, ana nedeni hesaplamalarda kolaylık sağlamaktır. Bu şekilde VU1 metodunda gereken iterasyonların hesaplanması hızlı Fourier dönüştümü (fast Fourier transform) kullanılmasına olanak sağlanması.

Şekil 1(a), saçının yokluğunda eşit güçde 9 adet nesne düzlemi noktasal kaynağını, Şekil 1(b) de bu görüntülerden birinin detayını gösterir. Kırınlım-sınırlı noktasal kaynak görüntüsünden bekleneceği gibi yan loblar ana lobun tepe değerinden yaklaşık 13 dB aşağıdadır. Şekil 2 ve Şekil 3'de $c=10^{-4}$ (düşük AES) ve $c=7 \times 10^{-3}$ (yüksek AES) için AES'nin noktasal kaynak görüntülerini üzerindeki etkisi gösterilmiştir.

4. Vektör-Uzayı Paralel İzdüşüm Algoritması (VUPIA) Kullanılarak AES Düzeltimi:

Saçının düzeltimi elde etmek için, saçının düzeltim levhası (*aberration correction plate*) (SDL) görüntü merceği teget olacak şekilde yerleştirilmiştir. Saçının düzeltim levhasının bu şekilde konumlandırılması optimum olmamayabilir ancak bu yer seçimi, analizi önemli ölçüde kolaylaştırır. Saçının düzeltim levhası kullanıldığından 1 nolu denlemedeki kırınlım integrali aşağıdaki şekilde dönüştür:

$$h^{(c)}(v; \xi) = \int_{-1/2}^{1/2} t(x) \cdot \exp(jcx^2 v^2) \cdot \exp(-j2\pi x[\xi - v]) dx \quad (2)$$

Yukarıdaki eşitlikde $t(x)$, saçının düzeltim levhasının kompleks transmitans fonksiyonudur ve $h^{(c)}(v; \xi)$ düzeltim levhası yerleştirilmişken oluşan noktasal kaynak tepkisidir. $t(x)$ 'i hesaplamak için VUPIA kullanılmıştır ve algoritma aşağıdaki şekilde uygulanır:

$$t_{n+1} = \sum_{i=1}^N w_i P_i t_n. \quad (3)$$

Bu eşitlikde N kısıtlama kümelerinin sayısı: P_i , C_i , kısıtlama kümelerine olan izdüşüm: t_n , SDL'nin n nolu iterasyondaki transmitans fonksiyonu: t_{n+1} yeni SDL transmitans fonksiyonu ve $\{w_i\}$.

$\sum_{i=1}^N w_i = 1$ eşitliğini sağlayan ağırlıklar dizisidir.

Kısıtlama kümelerinin etkisi hakkında önceden bir bilgi olmaması durumunda bütün i değerleri için $w_i = 1/N$ seçilebilir. P_i , $i = 1, 2, \dots, N$ izdüşümüne karşılık gelen kısıtlama kümeleri aşağıdaki gibi tanımlanır:

$$C_i = \left\{ t(x) : \left| \int_{-1/2}^{1/2} t(\alpha) \exp(jcv^2 \alpha^2) \exp(-j2\pi \alpha [\xi - v]) d\alpha \right| \leq B(\xi - i\Delta\xi), \text{ with equality at } B(0) \right\} \quad (4)$$

Yukarıda, $B(\xi) = 0.05 \text{rect}(\xi / 800) + 0.65 \text{rect}(\xi / 10)$ ve 800 ve 10 sayıları dikdörtgen (*rect*) fonksiyonlarının piksel cinsinden genişliklerini verir. Seçilen bu $B(\xi)$ fonksiyonu kullanılan düzenekte olacak kırınlım-sınırlı görüntünün büyülük üst sınırlarını tanımlar. C_i üstüne olan izdüşüm şu şekilde hesaplanır: i nolu noktasal kaynak tarafından üretilen kırınlısal alanın (*diffractive field*) büyülüğü $B(\xi - i\Delta\xi)$ yi aşarsa alanın fazı sabit tutulur. fakat alanın büyülüğünü incelenen noktanın yerine bağlı olarak 0.05 ya da 0.70'e düşürülür. $\xi = i\Delta\xi$ durumunda, alan büyülüğü, kırınlım-sınırlı alan büyülüğü olan 0.70 elde edilecek şekilde ayarlanır. Alan büyülüğünü saçılımsız (yani kırınlım-sınırlı) alanın boyutlarına uyumaya zorlayarak, SDL' nin saçının etkilerini yok etmek için gereken büyülük ve fazı öğreneceği umulmaktadır.

5. Simülasyon Sonuçları:

Saçının düzeltiminin verimliliği hangi ölçüler kullanılarak hesaplanabilir? AES'nin ana etkileri, Şekil 2 ve Şekil 3'den de gözeleceği gibi, görüntünün yayılması, yani bulanıklaşması, ve aynı zamanda görüntü büyülüğünün azalmasıdır. AES'nin tanımından açıkça anlaşılacağı gibi bu etkiler optik eksenden uzaklaşıkça daha belirgin hale gelir. Bu nedenle, SDL'li ve SDL'siz görüntü tepelerinin bağıl boyalarını ve bağıl genişliklerini veren çizimler SDL tasarıminın değerlendirilmesinde önemli araçlardır. Simülasyon sonuçları bir kaç önemli noktanın varlığına işaret etmiştir: 1) sınırlı sayıda *eğitim noktası*da kırınlım-sınırlıya çok yakın görüntüler üretecek bir SDL kolaylıkla tasarlanabilir. Eğitim noktası ile kastedilen $\xi = (-z_2/z_1)u$ görüntü noktasıdır. Burada u , noktasal kaynağın konumunu gösterir. Bununla birlikte, eğitim noktalarının dışındaki noktalarda bulunan noktasal kaynaklara olan tepkiler genelde yetersizdir. Bu nedenle saçının düzeltme sonuçlarını sadece eğitim noktalarında

göstermek ve değerlendirmek SDL'nin gerçekten olduğundan daha başarılı olarak yorumlanması neden olabilir. Görüntü düzleminde, belli noktalar yerine aralsız bir bölgede iyi sonuçlar elde etmek için çok sayıda kısıtlama kümesi kullanmanın gerekli olduğunu gözlenmiştir (görüntü düzleminde ilgilenilen bölgedeki her piksel için bir kısıtlama kümesi kullanılmalıdır). 2) SDL'nin kompleks transimitansı önemli sayıda zayıflatma ögesi içerir. Bunun sonucu olarak görüntü düzlemindeki ışık 6 dB'ye varan oranlarda zayıflar. Bu nedenle iki durumu (saçının düzeltilmiş ve düzeltilmemiş durumları) kıyaslamak için elde edilen ışık büyüklüklerini orijindeki tepe ışık büyüklüğüne bölgerek çizmek daha uygundur. 3) Yüksek AES ve düşük AES için yapılan tasarımların sonuçları arasındaki temel fark şu şekilde özetlenebilir: VUPJA tasarımını düşük AES için saçının çok daha geniş bölgelerde kolaylıkla düzeltebilir. Ancak, geniş bir görüntü bölgesi için saçının düzeltim işleminin zorluğu AES'nin büyülüğü ile doğru orantılı olarak artar.

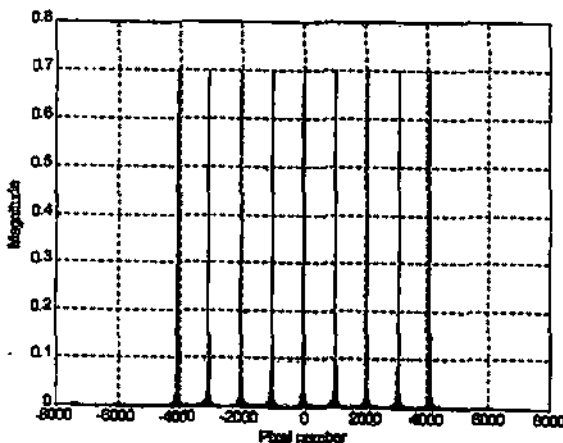
Noktasal kaynak görüntülerinin saçının düzeltilmiş ve düzeltilmemiş durumlardaki bağıl yüksekliklerini görüntü düzleminin aralsız bir bölgesinde Şekil 4 düşük AES için, Şekil 5 yüksek AES için gösterir. Benzer şekilde, noktasal kaynak görüntülerinin genişlikleride saçının düzeltilmiş ve saçının düzeltilmemiş olarak, düşük AES için Şekil 6 da, yüksek AES için Şekil 7 de verilmiştir. Yüksek AES durumunda elde edilen iyi sonuçlar, görüntü düzleminde daha kılçık bir bölgeyle sınırlıdır. Beklendiği gibi, her iki SDL'nin kompleks transimitansı ne büyük ne de faz olarak çok düzgün bir profil sergilemez. Yine de, tasarımın bir özelliği çok belirgindir: SDL, saçının mercek açığını azaltarak düzürmeye çalışır; bu da igne delikli (*pinhole*) kamerasının çalışma prensibi dilsüntüldüğünde akıcı bir yaklaşımdır.

6. Sonuç:

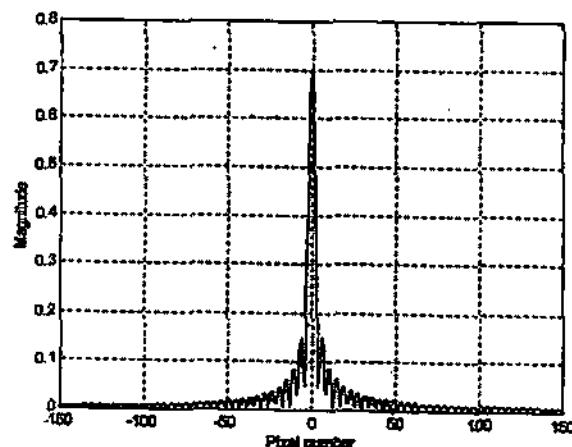
Uzay-değişken saçının düzeltimi, mercek açılık düzlemine bir saçının düzeltici levha yerleştirmek yoluyla denenmiştir. SDL iteratif bir metod olan vektör-uzay izdüşüm algoritması kullanılarak tasarlanmıştır. Görüntü düzleminde geniş alanlarda iyi sonuçlar elde etmek için çok sayıda kısıtlama kümesine ihtiyaç vardır. Bununla birlikte, önemli ölçüde saçının düzeltimi elde edilmiştir. Araştırmaların bu aşamasında tasarımın ana problemi ışık miktarındaki kayıp olarak görülmektedir.

Kaynakça:

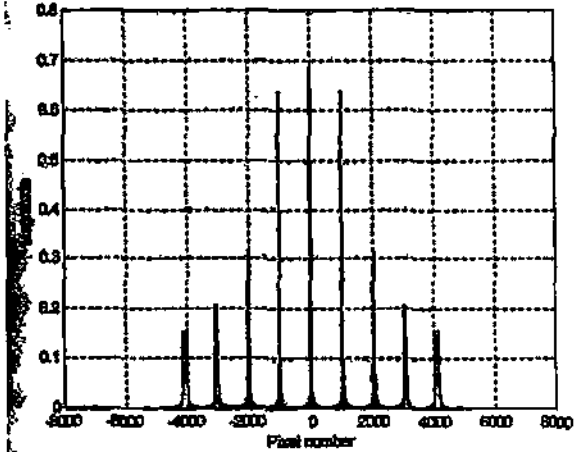
- H. Stark ve Y. Yang, *Vector Space Projections*, John Wiley and Sons, New York, NY, 1998.
- H. Stark, Y. Yang ve D. Gürkan, "Factor affecting convergence in the design of diffractive optics by iterative vector-space methods," *Journal of Optical Society of America A*, Vol. 16, No. 1, January 1999, 149-159.
- M. Born ve E. Wolf, *Principles of Optics*, 4th ed., sayfa 226, Pergamon Press, London, UK, 1970.
- P. Mouroulis and J. Macdonald, *Geometrical Optics and Optical Design*, Oxford University Press, New York, NY, 1997.
- J. D. Gaskill, *Linear Systems, Fourier Transforms and Optics*, sayfa 543, John Wiley and Sons, New York, NY, 1978.



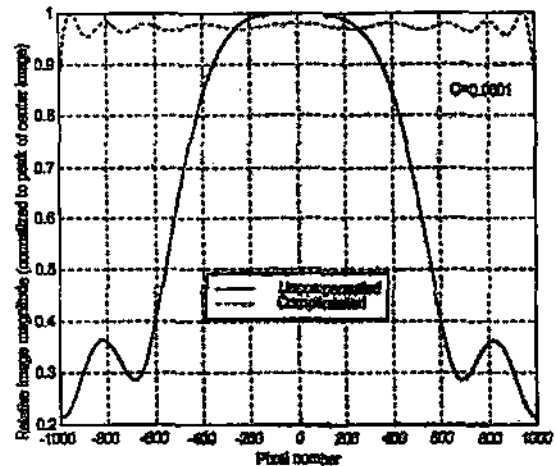
Şekil 1(a). Eşit güçte dokuz noktasal kaynağın kırınım-sınırlı görüntüüsü



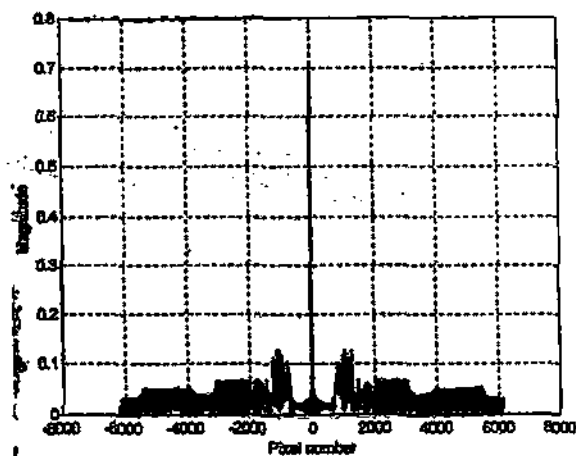
Şekil 1(b). Kırınım-sınırlı noktasal kaynak görüntülerinden birinin detayı.



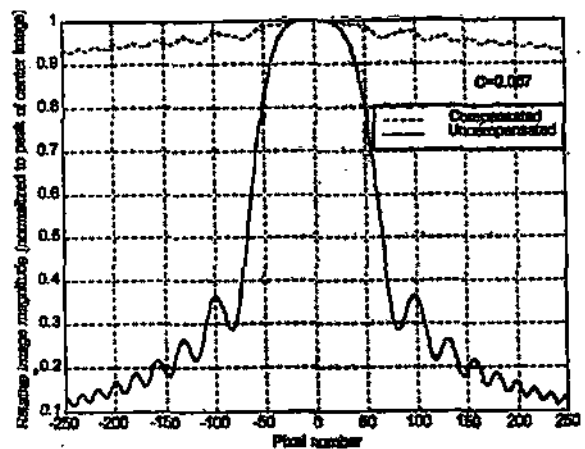
Şekil 2. Noktasal kaynakların düşük AES ($c=10^{-4}$) etkisi altındaki görüntüleri.



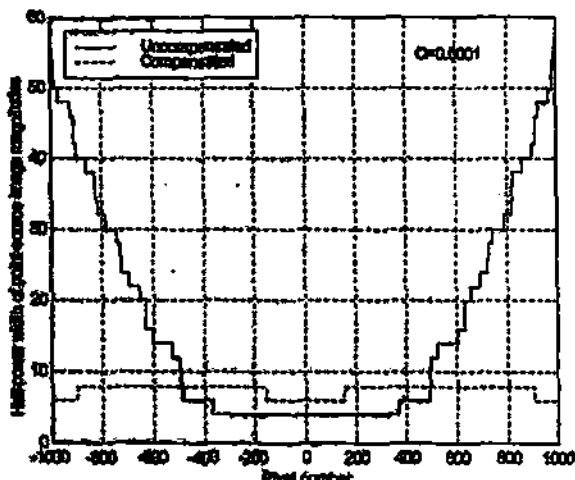
Şekil 4. Düşük AES ($c=10^{-4}$) için görüntü düzleminin aralıksız bir bölgesinde SDL kullanılan ve kullanılmayan durumlardaki bağıl görüntülü büyütüğü.



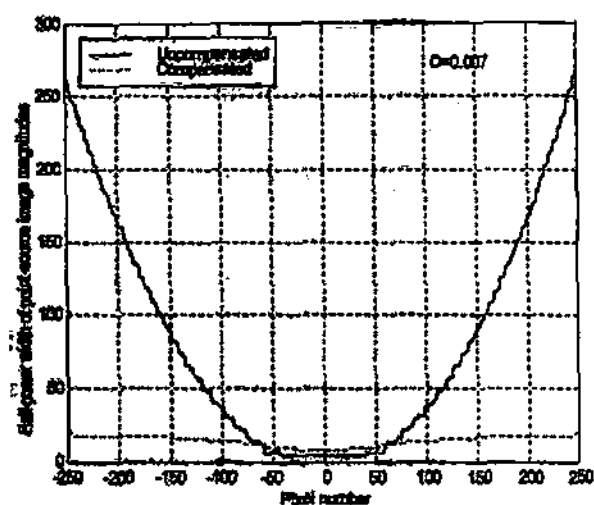
Şekil 3. Noktasal kaynakların yüksek AES ($c=7\times10^{-3}$) etkisi altındaki görüntüleri.



Şekil 5. Yüksek AES ($c=7\times10^{-3}$) için görüntü düzleminin aralıksız bir bölgesinde SDL kullanılan ve kullanılmayan durumlardaki bağıl görüntülü büyütüğü.



Şekil 6. Noktasal kaynak görüntülerinin düşük AES ($c=10^{-4}$) etkisi altında, SDL kullanılan ve kullanılmayan durumlardaki yarı-güç genişlikleri.



Şekil 7. Noktasal kaynak görüntülerinin yüksek AES ($c=7 \times 10^{-3}$) etkisi altında, SDL kullanılan ve kullanılmayan durumlardaki yarı-güç genişlikleri.